

## مقاله علمی-پژوهشی

# ارزیابی کیفی آبخوان ساحلی دشت ارومیه با استفاده از روش آسیب‌پذیری GALDIT اصلاح شده

مهدی ماجدی اصل<sup>۱\*</sup>، هیدی محمودپور<sup>۲</sup>، سینا صادق فام<sup>۳</sup>، ابراهیم ابراهیم‌پور<sup>۴</sup>

تاریخ دریافت: ۱۴۰۰/۰۵/۲۵ تاریخ پذیرش: ۱۴۰۰/۰۷/۲۰

## چکیده

نفوذ آب دریا یک تهدید زیست محیطی بزرگ برای منابع آب زیرزمینی در مناطق ساحلی است، در عین حال آب‌های زیرزمینی یکی از منابع اصلی تأمین آب شرب، کشاورزی و صنعتی می‌باشد که به دلیل مصرف روزافزون این منابع هر روز شاهد آلودگی بیشتر آبخوان‌های ساحلی هستیم. در این مطالعه از شاخص GALDIT برای ارزیابی آسیب‌پذیری آبخوان دشت ارومیه استفاده شد. سپس به منظور اصلاح و بهینه‌سازی مدل مذکور، دو پارامتر  $\alpha$  (گرادیان هیدرولیکی) و  $P$  (نرخ پمپاژ) به GALDIT اضافه شدند. نتایج ضریب همبستگی شاخص GALDIT و شاخص اصلاح شده GALDIT-iP با پارامتر کیفی EC نشان داد که ضریب همبستگی از  $0.42/0.66$  به  $0.42/0.42$  افزایش یافت که نشان از بهبودی مدل اصلاح شده می‌باشد، پس نقشه آسیب‌پذیری دقیق‌تری در اختیار ما قرار می‌دهد. نتایج توصیفی نیز نشان داد که در مناطق شرقی و مرکز دشت ارومیه و در حاشیه ساحلی آبخوان مورد نظر شدت آسیب‌پذیری خیلی زیاد تا زیاد بوده و در قسمت غربی و فاصله‌های دورتر از ساحل، میزان شدت آسیب‌پذیری کمتر می‌باشد. همچنین آنالیز حساسیت حذف پارامترهای مدل نیز نشان داد که تعییر شاخص آسیب‌پذیری با حذف پارامتر اثر آب شور نفوذ کرده (I) در روش GALDIT و پارامتر گرادیان هیدرولیکی (i) در روش GALDIT-iP بیشتر از سایر پارامترهاست. در ادامه، بر اساس آنالیز حساسیت تک پارامتری، دو پارامتر نوع و ضخامت آبخوان در هردو روش جزء مؤثرترین پارامترها و علاوه بر آن‌ها دو پارامتر گرادیان هیدرولیکی و نرخ پمپاژ نیز جز پارامترهای مؤثر در ارزیابی شاخص GALDIT-iP هستند. به طور کلی نتایج این مطالعه نشان داد که با اصلاح روش GALDIT درصد مساحت طبقات با آسیب‌پذیری زیاد تا خیلی زیاد افزایش یافته است درحالی که طبقات با آسیب‌پذیری خیلی کم تا متوسط، کاهش یافته است.

**واژه‌های کلیدی:** آب زیرزمینی، آنالیز حساسیت، صحت سنجی، گرادیان هیدرولیکی، GALDIT اصلاح شده

## مقدمه

بارش، تنها منبع آب مناسب، آب زیرزمینی ذخیره شده در آبخوان است. عوامل متعددی سبب پیشروی آب شور دریاها به سمت آبخوان‌های ساحلی می‌شود که این عوامل را می‌توان به دسته‌های (۱) عوامل طبیعی در اثر جزر و مد یا تغییر اقلیم و یا (۲) عوامل انسان‌زad در اثر برداشت مدیریت نشده از آبخوان تقسیم‌بندی نمود (Sadeghfam et al., 2020); بنابراین، پیشروی آب شور دریاها، مهم‌ترین مسئله‌ای است که کیفیت آب زیرزمینی را در آبخوان‌های ساحلی به خطر می‌اندازد (آفازاده و همکاران، ۱۳۸۹).

سازمان انجمن ملی تحقیقات آمریکا<sup>۵</sup>، مفهوم آسیب‌پذیری آبخوان را "تمایل آلاینده‌ها برای رسیدن به مکانی مشخص در بالاترین سطح آبخوان در سیستم آب زیرزمینی" تعریف می‌کند

در بسیاری از کشورهای جهان، جمعیت زیادی در مناطق ساحلی زندگی می‌کنند و به علت در دسترس نبودن منابع آب سطحی قابل اطمینان جهت بهره‌برداری و همچنین نامنظم بودن الگوهای

۱- دانشیار گروه مهندسی عمران، دانشکده فنی و مهندسی، دانشگاه مراغه، مراغه، ایران

۲- کارشناس آب زیرزمینی اداره منابع آب شهرستان سردهشت، ایران

۳- استادیار گروه مهندسی عمران، دانشکده فنی و مهندسی، دانشگاه مراغه، مراغه، ایران

۴- دانشجوی کارشناسی ارشد عمران آب و سازه‌های هیدرولیکی، دانشکده فنی و مهندسی، دانشگاه مراغه، مراغه، ایران

۵- نویسنده مسئول: (Email: majedi@maragheh.ac.ir)  
DOI: 20.1001.1.20087942.1401.16.1.5.2

اصلاح روش GALDIT به توسعه روش‌های GAiDIT-i-P دادند و در تجزیه و تحلیل حساسیت آبخوان جنوب دریای خزر به این نتیجه رسیدند که روش GALDIT هیچ منطقه‌ای با آسیب‌پذیری بالا را نشان نداد ولی با جایگزینی و اضافه کردن پارامتر گرادیان هیدرولیکی (پارامتر  $i$ ) و اختلاف تراز سطح آبهای زیرزمینی با سطح آب در مدل‌های GAiDIT و i-P به ترتیب  $43.4\%$  و  $50.5\%$  درصد از مساحت آبخوان را با آسیب‌پذیری بالا نشان دادند (Parizi et al., 2019).

محمود پور و همکاران (۱۳۹۸) با اضافه کردن دو پارامتر کاربری اراضی و نرخ پمپاژ به اصلاح روش DRASTIC پرداختند. نتایج آنان نشان داد که درصد مساحت مناطق با شدت آسیب‌پذیری بیشتر، افزایش یافته و همچنین درصد مساحت مناطق با شدت آسیب‌پذیری کمتر، کاهش یافته است.

همچنین گورگیج و همکاران در زمینه آسیب‌پذیری آبخوان نسبت به نفوذ آب شور با استفاده از شاخص آسیب‌پذیری GALDIT برای محدوده مطالعه‌ی آبخوان دشت آذرشهر-تبریز نشان دادند که بیشترین آسیب‌پذیری دشت نسبت به نفوذ آب شور در مرکز و بخش‌های غربی محدوده موردمطالعه مشاهده شد. همچنین در این پژوهش از فاکتور دیگری به نام نرخ پمپاژ آب به جای فاکتور سطح آب زیرزمینی استفاده شده و مدل حاصل GAPDIT نامیده شد. استفاده از هر دو شاخص نشان داد که بیشترین آسیب‌پذیری در منطقه موردمطالعه متعلق به مرکز دشت می‌باشد (Gorgij et al., 2016).

معظم‌نیا و همکاران آسیب‌پذیری آبخوان دشت ارومیه را بر اساس روش GALDIT با بهره‌گیری از هوش مصنوعی دومرحله‌ای انجام دادند. در سطح اول، آسیب‌پذیری با استفاده از سه مدل شبکه عصبی مصنوعی (ANN)، سوگو-فارازی (SFL) و نورو-فارازی (NF) انجام دادند، سپس نتایج سطح اول با روش ماشین بردار پشتیبانی (SVM)، در سطح دوم ترکیب شدند. معیارهای RMSE و R<sup>2</sup> نشان داد که نتایج در سطح اول تا حدودی بهبود یافتند و در سطح دوم به صورت قابل توجهی بهبود حاصل شد (Moazamnia et al., 2020).

با توجه به اینکه در محدوده مطالعه‌ی دریاچه ارومیه عمدت مصارف آب موردنیاز برای کشاورزی و مصارف دیگر بیشتر به منابع آب زیرزمینی متکی است و در موقع خشک‌سالی که دبی رودخانه‌ها و تغذیه منابع آب زیرزمینی به طور قابل توجهی کاهش می‌یابد، کشاورزان برای تأمین نیازهای خود به سمت برداشت بر رویه از منابع آب زیرزمینی روی می‌آورند که این مستله باعث پیشروی آب شور دریا و شور شدن آبهای زیرزمینی می‌شود؛ بنابراین با توجه به اهمیت پیشروی آب شور در آبخوان ساحلی دشت ارومیه، این آبخوان به عنوان منطقه موردمطالعه انتخاب شد. در این مطالعه، به منظور تهیه نقشه آسیب‌پذیری و ارائه گزینه‌های مدیریتی مناسب برای حفاظت آبخوان ساحلی دشت ارومیه، روش آسیب‌پذیری GALDIT-iP-

(Samey et al., 2008) آبخوان را با در نظر گرفتن ویژگی‌های ذاتی آن، حساسیت کیفتی آب زیرزمینی نسبت به آلاینده وارد شده به آبخوان عنوان شده است (Ferreira et al., 1991). روش GALDIT در سال ۲۰۰۱ توسط Lobo Ferreira و Chachadi شور در آبخوان‌های ساحلی ارائه شد. این روش درواقع جزو روش‌های شاخص دهی و همپوشانی ارزیابی آسیب‌پذیری به شمار می‌رود.

در پژوهشی تخلیقی و همکاران (۱۳۹۳) آسیب‌پذیری آبخوان ساحلی دریاچه ارومیه را نسبت به نفوذ آب شور با استفاده از روش GALDIT ارزیابی کردند. نتایج نشان داد که میزان آسیب‌پذیری در سواحل دریاچه ارومیه بیشتر بوده و در بخش‌های دورتر از ساحل میزان آن کمتر است. همچنین گنتارا و همکارانش نیز ارزیابی آسیب‌پذیری آبهای زیرزمینی آبخوان ساحلی تونس را با استفاده از روش GALDIT انجام دادند. نتایج نشان داد که آسیب‌پذیری قسمت ساحلی آبخوان بسیار بالاست و تحلیل حساسیت آبخوان نیز نشان داد که هدایت هیدرولیکی و ضخامت آبخوان دو پارامتر تعیین‌کننده آسیب‌پذیری آبخوان هستند (Gontara et al., 2016).

بهره‌برداری بیش از حد از آب زیرزمینی، به دلیل فعالیت توریستی شدید در منطقه Alydos، دلیل اصلی شور شدن آبهای زیرزمینی به دلیل نفوذ آب دریا در منطقه موردمطالعه را تشکیل می‌دهد. در نتیجه، برنامه‌ریزی برای مدیریت صحیح آبهای زیرزمینی و نظارت منظم بر روی منابع آب زیرزمینی از اهمیت ویژه‌ای برای رفع مشکلات موجود و جلوگیری از مسائل بعدی شوری آبهای زیرزمینی برخوردار است (Mavriou et al., 2019).

در مطالعه‌ی آبخوان جنوب یونان که طی سال‌های ۱۹۹۲ تا ۲۰۰۴ موردنرسی قرار گرفت، تجزیه و تحلیل پارامترهای GALDIT نشان داد که علاوه بر افزایش شوری در منطقه، تراز سطح آب زیرزمینی در پیزومترها نیز افت داشته و به تبع آن شاخص آسیب‌پذیری GALDIT نیز افزایش یافته است (Recinos et al., 2014).

در مطالعات پیشین توسعه و اصلاح شاخص‌های آسیب‌پذیری و یا مقایسه آن‌ها با همدیگر با هدف شناسایی ابعاد ناشناخته مفهوم آسیب‌پذیری به‌وفور انجام شده است. در مطالعه‌ی بردباز و همکاران (۱۳۹۷)، روش GALDIT برای ارزیابی و تعیین نواحی آسیب‌پذیر در آبخوان ساحلی قره سو-گرانرود نسبت به پیشروی آب شور به کار رفته است. آن‌ها در این مطالعه از مدل Fuzzy logic به منظور اصلاح شاخص GALDIT استفاده کردند. علاوه بر این، وزن‌های این روش با روش تحلیل سلسه مراتبی (AHP) اصلاح شده‌است. نتایج حاصل از صحت سنجی نشان داد که ضریب همبستگی بین مدل Fuzzy-AHP و GALDIT-AHP با غلظت TDS برابر  $0.51\%$  و  $0.63\%$  می‌باشد. در پژوهشی دیگر پاریزی و همکاران با

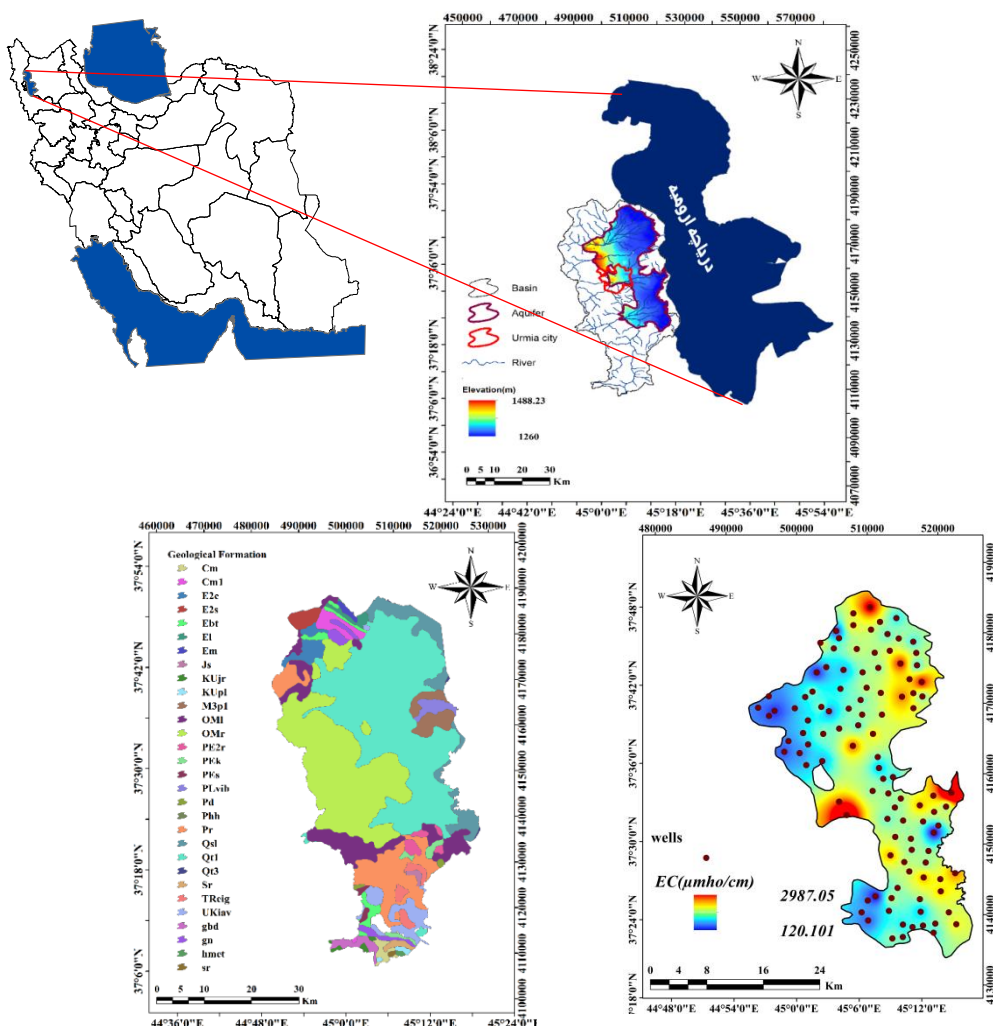
مطالعاتی دشت ارومیه در استان آذربایجان غربی قرار گرفته و یکی از دشت‌های حوضه آبریز دریاچه ارومیه می‌باشد که متولی مطالعاتی آن شرکت آب منطقه‌ای آذربایجان غربی است. مساحت کلی این محدوده مطالعاتی  $2166/2$  کیلومترمربع می‌باشد که حدود  $4/18$  درصد کل حوضه آبریز دریاچه ارومیه را دربر می‌گیرد. از این میزان  $748/96$  کیلومترمربع مربوط به وسعت دشت و  $1249/2$  کیلومترمربع را نیز ارتفاعات محدوده مطالعاتی تشکیل می‌دهد. حداقل ارتفاع محدوده مطالعاتی حدود  $2000$  متر و حداقل آن حدود  $1270$  متر می‌باشد که مربوط به حواشی دریاچه ارومیه می‌باشد. شکل ۱ موقعیت جغرافیایی منطقه مورد مطالعه را نشان می‌دهد.

مودببررسی قرار گرفته است تا در نهایت میزان تأثیر هر کدام از پارامترها در ارزیابی آسیب‌پذیری سنجیده شود و با استفاده از نتایج آنالیز حساسیت وزن‌های جدید به هر کدام از پارامترها اختصاص داده شود.

## مواد و روش‌ها

### معرفی منطقه مورد مطالعه

حوضه آبریز دریاچه ارومیه با وسعت حدود  $51762$  کیلومترمربع در قسمت شمال غربی ایران بین مختصات جغرافیائی  $44^{\circ}24'0''E$  و  $45^{\circ}54'0''E$  دقیقه تا  $37^{\circ}40'0''N$  و  $37^{\circ}54'0''N$  دقیقه طول شرقی و  $35^{\circ}0'0''N$  و  $35^{\circ}30'0''N$  دقیقه تا  $47^{\circ}0'0''E$  و  $47^{\circ}30'0''E$  دقیقه عرض شمالی قرار گرفته است. محدوده  $38$  درجه و  $30$  دقیقه عرض شمالی قرار گرفته است. محدوده



شکل ۱ - موقعیت منطقه مورد مطالعه با نقشه زمین‌شناسی و نقشه توزیع مکانی چاههای پایش با اطلاعات EC

اختلاف تراز سطح آب زیرزمینی و سطح آب دریا<sup>۳</sup> (L): با توجه به گزارش نوسانات آب دریاچه ارومیه در سال آبی ۱۳۹۴-۹۵ متوسط تراز آب ۱۲۷۰/۷۱-۱۲۷۰ متر برآورد شد (گزارشات پایه منابع آب، ۱۳۹۵). پس از آن میانگین سالانه تراز سطح آب در چاههای مشاهدهای برای سال آبی موردنظر نیز محاسبه شد و از اختلاف آن با متوسط تراز سطح آب دریاچه ارومیه به عنوان داده‌های نقطه‌ای این پارامتر در نظر گرفته شد. با انجام مراحل تهیه نقشه رسترنی و رتبه‌بندی آن بر اساس جدول ۱ نقشه پنهانی آن تهیه شد.

فاصله تا ساحل<sup>۴</sup> (D): نقشه این پارامتر در محیط ArcGIS بدین صورت که ضلع شرقی پلی‌گون محدوده موردنظر به عنوان نوار ساحلی در نظر گرفته شد و با استفاده از ابزار Euclidean Distance فایل رسترنی دارای فاصله مستقیم هر پیکسل با نوار ساحلی به دست آمد و با استفاده از جدول ۱ رتبه‌بندی شد.

تأثیر بزرگی و وسعت آب شور نفوذ کرده<sup>۵</sup> (I): ریول نسبت زیر را به عنوان معیاری برای تشخیص نفوذ آب شور به آبخوان ساحلی بیان کرده است (Revelle, 1941). کلرید فراوان ترین یون موجود در آب دریا بوده، درحالی که مقدار آن در آب زیرزمینی خیلی کم است. مقدار بی‌کربنات در آب زیرزمینی در مقایسه با آب دریا خیلی بیشتر است. این نسبت برای رتبه‌بندی عامل تأثیر وجود آب شور نفوذ کرده استفاده می‌شود. رابطه (۲) نسبت ریول را نشان می‌دهد.

$$\text{Revelles coefficient (I)} = \frac{[\text{Cl}]}{[\text{HCO}_3 + \text{CO}_3^{2-}]} \quad (2)$$

با استفاده از نتایج تعداد ۱۰۹ نمونه آب زیرزمینی مربوط به آبخوان ارومیه که در سال ۱۳۹۵ مقدار نسبت ریول محاسبه شد و نقشه پنهانی آن با استفاده از روش IDW تهیه شد و بر اساس جدول (۱) کلاسه‌بندی شد.

ضخامت آبخوان<sup>۶</sup> (T): رتبه‌بندی پارامتر ضخامت آبخوان در جدول (۱) ارائه شده است. نقشه نهایی این پارامتر با استفاده از داده‌های لاغ حفاری و شبیه فایل از شرکت آب منطقه‌ای تهیه شد و پس از پنهانبندی و کلاسه‌بندی آن نقشه رسترنی نهایی با پیکسل سایز موردنظر حاصل شد.

**روش ارزیابی آسیب‌پذیری با استفاده از روش GALDIT-iP**  
در این مطالعه، به منظور تهیه نقشه آسیب‌پذیری و ارائه گزینه‌های

بخش کشاورزی، بیش‌ترین مصرف‌کننده آب زیرزمینی در دشت ارومیه می‌باشد و طبق گزارش بیلان سال آبی ۱۳۹۴-۹۵، میزان برداشت از منابع آب زیرزمینی معادل ۳۶۷/۸۶ میلیون مترمکعب در سال و تفکیک آن بر اساس چاه و چشممه به ترتیب ۳۵۷/۳۲ و ۱۰/۵۴ میلیون مترمکعب می‌باشد. حجم آب ورودی به سفره آب زیرزمینی کمتر از میزان خروجی از آن بوده و سفره در شرایط بیلان منفی می‌باشد. در این تحقیق داده‌های کیفی آب زیرزمینی مربوط به پارامتر اندازه‌گیری شده از مطالعات پایه منابع آب شرکت آب منطقه‌ای استان آذربایجان غربی تهیه شد. داده‌های EC اندازه‌گیری شده دوره اول (اسفندماه ۹۵) در سال آبی ۱۳۹۴-۹۵، از تعداد ۱۰۹ حلقه چاه جمع‌آوری شد. توزیع مکانی مقادیر EC اندازه‌گیری شده توسط روش IDW در شکل ۱ نشان داده شده است.

**ارزیابی آسیب‌پذیری با استفاده از روش GALDIT**  
GALDIT یک روش پارامتری است که بر اساس ترکیب و هم-پوشانی اطلاعات شش لایه ماهیت آبخوان (G)، هدایت هیدرولیکی (A)، ارتفاع سطح آب‌های زیرزمینی بالاتر از سطح دریا (L)، فاصله از ساحل (D)، تأثیر وسعت نفوذ آب دریا (I) و ضخامت آبخوان (T) با استفاده از رابطه (۱) به دست می‌آید (Cherkaoui Dekkaki et al., 2018).

$$\text{GALDIT Index} = \frac{\sum_{i=1}^6 (W_i \times R_i)}{\sum_{i=1}^6 (W_i)} \quad (1)$$

در این رابطه  $W_i$  و  $R_i$  به ترتیب وزن نسبی و رتبه‌بندی پارامتر  $i$  را نشان می‌دهند. در ادامه، لایه‌های GALDIT به منظور تهیه نقشه آسیب‌پذیری آبخوان در روش GALDIT-iP و GALDIT و مراحل آماده‌سازی هر یک از آن‌ها ارائه شده است.

**معرفی پارامترها**  
نوع آبخوان<sup>۷</sup> (G): آبخوان محدوده مطالعاتی ارومیه بر اساس گزارش بیلان سازمان آب منطقه‌ای از نوع آزاد است و رتبه اختصاص داده شده به آن در این تحقیق عدد ۹ می‌باشد (گزارشات پایه منابع آب، ۱۳۹۵).

هدایت هیدرولیکی<sup>۸</sup> (A): با استفاده از ضخامت اشباع آبخوان، مقدار هدایت هیدرولیکی از تقسیم ضریب قابلیت انتقال آب بر ضخامت اشباع آبخوان به دست آمد. اطلاعات و نقاط جغرافیایی مربوط به ضریب قابلیت انتقال و هم ضخامت آبخوان داشت از نقشه‌های موجود تهیه گردید و نقشه آن در محیط ArcGIS تهیه شد.

- 
- 1- Inverse distance weighting  
2- Groundwater occurrence  
3- Aquifer hydraulic conductivity

4- Height of groundwater level of above sea level

5- Distance from the shoreline

6- Impact of existing status of seawater intrusion in the area

7- Thickness of the mapped aquifer

۱۹۹۰ انجام شد (Lodwick et al., 1990)، حساسیت نقشه آسیب-پذیری را به حذف یک یا چند پارامتر نشان می‌دهد و با حذف هر یک از پارامترها میزان حساسیت شاخص آسیب‌پذیری به هر پارامتر به دست می‌آید. این آنالیز از طریق رابطه (۴) محاسبه می‌شود:

$$S = \left( \frac{|V/N - V/n|}{V} \right) \times 100 \quad (4)$$

در این رابطه،  $S$  میزان حساسیت را نشان می‌دهد؛  $V$  و  $v$  به ترتیب شاخص آسیب‌پذیری بدون حذف و با حذف پارامتر؛  $N$  و  $n$  تعداد لایه‌های مورداستفاده برای محاسبه  $V$  و  $v$  هستند. شاخص آسیب‌پذیری اصلی حاصل از تمامی پارامتر به عنوان  $V$  و شاخص حاصل از حذف یک یا چند پارامتر به عنوان  $v$  در نظر گرفته می‌شود.

#### آنالیز حساسیت تک پارامتری (پارامتر واحد)

آنالیز حساسیت تک پارامتری توسط ناپولیتانو و همکاران در سال ۱۹۹۶ معرفی شد (Napolitano et al., 1996) که در آن بهمنظور محاسبه تأثیر هر پارامتر، ابتدا شاخص آسیب‌پذیری با تلفیق لایه‌های آن برآورد شده ( $V$ )؛ سپس وزن واقعی یا مؤثر هر پارامتر با استفاده از رابطه ۵ به دست می‌آید. در واقع این آنالیز اثر هر کدام از پارامترهای GALDIT-iP را بر روی شاخص آسیب‌پذیری ارزیابی می‌کند. این آنالیز برای مقایسه وزن مؤثر هر کدام از پارامترها با وزن تئوریک اختصاص داده شده در مدل تحلیلی انجام می‌شود. وزن مؤثر تابعی از مقدار پارامتر منفرد با توجه به پارامترهای دیگر و همچنین وزن اختصاص داده شده به آن از طریق مدل GALDIT-iP می‌باشد. وزن مؤثر یا وزن واقعی هر پارامتر با استفاده از رابطه ۵ محاسبه می‌شود:

$$w = \left( \frac{P_r P_w}{V} \right) \times 100 \quad (5)$$

در این رابطه  $W$  وزن مؤثر هر پارامتر و  $P_r$  و  $P_w$  به ترتیب رتبه و وزن مربوط به آن پارامتر و  $V$  شاخص آسیب‌پذیری است. وزن مؤثر پارامترهای GALDIT انحراف از مقادیر تئوریک آن‌ها را نشان می-دهد.

#### واسنجی مدل

با استفاده از واسنجی می‌توان دقت پژوهش را بر اساس داده‌های سال‌های مختلف سنجید. در این پژوهش از داده EC سال آبی ۱۳۹۵ برای واسنجی مدل به دست آمده از سال ۱۳۹۵ استفاده شده است و نتایج در جدول ۲ و شکل ۳ آورده شده است. طبق نتایج مناطق با آسیب‌پذیری متوسط درصد بیشتری از مساحت محدوده موردمطالعه را در روش شاخص GALDIT اصلاح شده نشان می‌دهد و بعد از آن طبقه با آسیب‌پذیری زیاد بیشتر منطقه را پوشش می‌دهد و این در حالی است که نتایج پارامتر EC نیز تطابق بیشتری با شاخص

مدیریتی مناسب برای حفاظت آبخوان دشت ارومیه، برای انطباق بیشتر نقشه‌های آسیب‌پذیری با شرایط موجود در منطقه، روش GALDIT با توجه به موقعیت ویژه منطقه و خصوصیات آبخوان موردنرسی، با اضافه کردن نقشه‌های گرادیان هیدرولیکی و نرخ پمپاژ اصلاح شد. با توجه به رتبه‌های مربوط به پارامترها و ضرایب وزنی که اهمیت نسبی آن‌ها را نسبت به آسیب‌پذیری آبخوان نشان می‌دهد (جدول ۱)، نقشه شاخص آسیب‌پذیری iP-GALDIT، بر اساس رابطه‌ی (۳) محاسبه می‌شود:

$$\text{GALDIT-iP Index} = \frac{\sum_{i=1}^8 (W_i \times R_i)}{\sum_{i=1}^8 (W_i)} \quad (3)$$

بر اساس رتبه‌بندی‌ها و وزن پارامترهای جدول ۱، در محیط نرم‌افزار ArcGIS برای هر پارامتر لایه رستری تهیه شد (شکل ۲) سپس با استفاده از روابط (۱) و (۳) نقشه شاخص نهایی مدل آسیب-پذیری آبخوان از همپوشانی لایه‌های رستری پارامترها به دست آمد. گرادیان هیدرولیکی آبخوان (i): این پارامتر مشکل از دو پارامتر اختلاف تراز سطح آب زیرزمینی با سطح آب دریا و پارامتر فاصله تا ساحل می‌باشد که در نهایت نقشه این پارامتر از تقسیم نقشه رستری اختلاف تراز سطح آب زیرزمینی با سطح آب دریا بر نقشه رستری فاصله تا ساحل حاصل شد و با استفاده از جدول ۱ در محدوده‌های مختلف رتبه‌بندی شد.

نرخ پمپاژ (P): برای تهیه این پارامتر از داده‌های چاهه‌ای آماربرداری شده مطالعات استفاده شد که در آن مقادیر برداشت آب توسط چاهه‌ای مجاز و غیرمجاز عنوان شده است و بر اساس میزان IDW برداشت از هر چاه نقشه پهن‌بندی نرخ پمپاژ با استفاده از روش تهیه شد. فرض شد که مناطق با نرخ پمپاژ بالاتر نسبت به نفوذ آب شور دارای آسیب‌پذیری بالاتری هستند؛ بنابراین وزن ۴ به این فاکتور اختصاص داده شد و درجه اهمیت آن به ۷ دسته با رتبه‌های متفاوت تقسیم‌بندی شد (جدول ۱).

#### آنالیز حساسیت

در این تحقیق دو نوع آنالیز حساسیت انجام شده است که در ادامه به نحوه پیاده‌سازی آن پرداخته خواهد شد. آنالیز حساسیت با هدف پاسخگویی به چنین سوالی انجام شده است: آیا همه پارامترها برای بررسی آسیب‌پذیری آبخوان دشت ارومیه لازم است یا با تعداد کمتری از پارامترها نیز می‌توان به نتیجه مطلوب دست یافت؟

#### آنالیز حساسیت حذف نقشه

این آنالیز که برای اولین بار توسط لودویک و همکاران در سال

1- Hydraulic gradient

2- Pumping rate

GALDIT اصلاح شده دارد تا شاخص GALDIT با نقشه EC می‌باشد.

اصلاح شده دارد تا شاخص GALDIT. علاوه بر این شکل ۳ نیز تأیید کننده این موضوع می‌باشد و نشان می‌دهد که نقشه

**جدول ۱- بازه‌ها و رتبه‌های پارامترهای شاخص GALDIT-iP و GALDIT** (Chachadi, 2005; Docheshmeh Gorgij et al., 2015)

										فاصله تا ساحل (متر)		
		نوع آبخوان		هدایت هیدرولیکی آبخوان (متر در روز)		اختلاف تراز سطح آب زیرزمینی با سطح آب دریا (متر)		وزن نسبی: ۳		وزن نسبی: ۱		
		وزن نسبی: ۱		وزن نسبی: ۲		وزن نسبی: ۵		وزن نسبی: ۳		وزن نسبی: ۱		
آزاد	۹	بازه	رتبه	بازه	رتبه	بازه	رتبه	بازه	رتبه	۱۰۰۰<	۱۰	
		۱/۵<		۸/۱۲-۶		۱۰		۲۰۰۰-۱۰۰۰		۹		
		۱/۲-۵/۵	۱	۱۷-۱۲	۸	۶	۳۰۰۰-۲۰۰۰	۸	۴۰۰۰-۳۰۰۰	۷		
		۲/۳-۵/۵	۳	۲۲-۱۷	۶	۵	۵۰۰۰-۴۰۰۰	۶	۶۰۰۰-۵۰۰۰	۵		
		۳/۶-۵	۵	۲۷-۲۲	۳	۳	۸۰۰۰-۶۰۰۰	۴	۱۰۰۰-۸۰۰۰	۳		
		۱۰-۶	۸	۳۲-۲۷	۲	۱	۱۵۰۰۰-۱۰۰۰۰	۲	۱۵۰۰۰-۱۰۰۰۰	۱		
		۱۰>	۹	۳۷-۳۲	۱۰	۳۷						
		تأثیر بزرگی و وسعت آب شور نفوذ کرده (میلی اکی والان در لیتر)		ضخامت آبخوان (متر)		گرادیان هیدرولیکی		نرخ پمپاژ (مترمکعب در (سال)				
		وزن نسبی: ۶		وزن نسبی: ۳		وزن نسبی: ۴		وزن نسبی: ۴				
		بازه	رتبه	بازه	رتبه	بازه	رتبه	بازه	رتبه	بازه	رتبه	
۰/۱<	۱					۰/۰۰۳<		۱۰		۲۰۰۰<		
		۸۰<		۱		۰/۰۰۰۳/۰۰۵		۹		۵۰۰۰-۲۰۰۰	۳	
		۱۰۰-۸۰	۳			۰/۰۰۰۵/۰۰۷		۸		۱۰۰۰-۵۰۰۰	۵	
		۱۲۵-۱۰۰	۵			۰/۰۰۰۷/۰۰۹		۷		۲۵۰۰۰-۱۰۰۰۰	۶	
		۱۵۰-۱۲۵	۶			۰/۰۰۰۹/۰۱		۶		۵۰۰۰-۲۵۰۰۰	۷	
		۱۷۵-۱۵۰	۷			۰/۰۰۱/۰۵		۵		۱۰۰۰۰-۵۰۰۰۰	۸	
		۲۰۰-۱۷۵	۸			۰/۰۰۰۵/۱		۴		۱۰۰۰۰-۵۰۰۰۰	۹	
۰/۱-۵	۹					۰/۰۰۱/۱۲		۳		۱۰۰۰۰->		
		۲۰۰-۱۷۵	۹			۰/۰۰۱/۱۴		۲		۱۰		
۱>	۱۰					۰/۰۰۱/۱۴		۱				
		۲۲۰->		۱۰								

موردمطالعه، نقشه توزیع غلظت EC به دست آمد. سپس مقدار شاخص آسیب‌پذیری GALDIT-iP و GALDIT در این نقاط استخراج و در نهایت میزان همبستگی هر دو شاخص تعیین شد. شکل ۱ توزیع مکانی چاههای کیفی مشاهداتی ارائه شده است.

### نتایج و بحث

**تحلیل نقشه‌های آسیب‌پذیری آبخوان**  
پس از آماده‌سازی و پردازش داده‌ها در ArcGIS، لایه‌های کلاسی‌بندی شده مربوط به عوامل مؤثر بر آسیب‌پذیری ایجاد شد

**صححت‌سنجی مدل**  
یکی از روش‌های اعتبارسنجی شاخص‌های آسیب‌پذیری استفاده از پارامترهای کیفی و همبستگی بین غلظت پارامترهای کیفی و شخص محاسبه شده است. با توجه به موقعیت چهارگیانه و ساحلی بودن منطقه موردمطالعه جهت ارزیابی مدل‌های نهایی آسیب‌پذیری، بررسی میزان همبستگی بین شاخص آسیب‌پذیری GALDIT و GALDIT-iP و میزان پارامتر کیفی EC چاههای مورد آزمایش منطقه صورت پذیرفت. به طوری که نتایج حاصل از میزان همبستگی شاخص‌های آسیب‌پذیری با پارامتر کیفی نیز در جدول ۳ ارائه شده است. در نمونه‌های برداشت شده از ۱۰۹ چاه موجود در منطقه

زیرزمینی با حذف پارامتر اثر آب شور نفوذ کرده (I) در روش GALDIT و پارامتر گرادیان هیدرولیکی (i) در روش GALDIT-iP بیشتر از سایر پارامترها است، زیرا متوسط تغییر شاخص به ترتیب GALDIT ۱۵/۸۸ و ۱۲/۰۹۴ درصد می‌باشد. علاوه بر این، شاخص GALDIT نسبت به حذف پارامترهای اختلاف تراز سطح آب زیرزمینی با سطح آب دریا و ضخامت آبخوان (به ترتیب با شاخص تغییرات میانگین ۱۵/۸۷ و ۱۵/۸۳ درصد) و شاخص GALDIT-iP نسبت به حذف پارامترهای نرخ پمپاژ، اختلاف تراز سطح آب زیرزمینی با سطح آب دریا و اثر آب شور نفوذ کرده (به ترتیب با شاخص تغییرات میانگین ۱۲/۰۶۱، ۱۲/۰۸۲ و ۱۲/۰۶۰ درصد) حساس می‌باشد.

جدول (۵) تغییرات شاخص آسیب‌پذیری ناشی از حذف یک یا چند نقشه (چند پارامتر) را در شاخص GALDIT و GALDIT-iP را نشان می‌دهد. حذف نقشه‌ها بر اساس اندازه‌گیری حساسیت حذف نقشه اولیه (جدول ۴) انجام شد و لایه‌هایی که تغییر کمتری در شاخص آسیب‌پذیری نهایی را ایجاد می‌کنند، به ترتیب یکی پس از دیگری حذف شدند. کمترین میانگین تغییرات شاخص در هر دو روش GALDIT و GALDIT-iP با حذف پارامتر نوع آبخوان (G) یافت شد. ناپایداری در روند میانگین تغییرات شاخص در هر دو روش زمانی مشاهده می‌شود که لایه‌های بیشتری حذف می‌شوند. این روند نشان می‌دهد که تقریباً تمامی پارامترها برای تشخیص شاخص آسیب‌پذیری ضروری هستند.

(شکل ۲). این لایه‌ها بر اساس جدول ۱ وزن دهی و تلفیق شدن و نهایتاً نقشه آسیب‌پذیری آبخوان از همپوشانی نقشه پارامترها با استفاده از رابطه ۱ و ۳ تهیه شد (شکل ۳). همچنین شاخص موردنظر به صورت توصیفی طبقه‌بندی شد و نتایج در جدول ۲ و ۳ ارائه شده است. اعداد محاسبه شده، نشان‌دهنده میزان آسیب‌پذیری آبخوان در برابر نفوذ آب شور است به طوری که اعداد بزرگ‌تر بیانگر آسیب‌پذیری بیش‌تر آبخوان است. شاخص آسیب‌پذیری برای کل دشت بین ۳ تا ۸ براورد شده و طبقات آسیب‌پذیری مورداستفاده شامل دسته آسیب‌پذیری خیلی کم، کم، متوسط، زیاد و خیلی زیاد است. در این بین ۸ سهم روش GALDIT چهار دسته و سهم روش GALDIT-iP هر پنج دسته می‌باشد که بیانگر این است که در روش اصلاح شده میزان شدت آسیب‌پذیری بیشتر شده است به طوری که درصد مناطق با آسیب‌پذیری بیشتر نسبت به روش GALDIT اصلی افزایش قابل توجه داشته است. بر اساس نقشه‌های موجود (شکل ۳) به طور کلی می‌توان بیان کرد که در مناطق شمالی و مرکز دشت ارومیه و در حاشیه ساحلی آبخوان موردنظر شد آسیب‌پذیری خیلی زیاد تا زیاد می‌باشد و در قسمت جنوبی و فاصله‌های دورتر از ساحل، میزان شدت آسیب‌پذیری کمتر شده است.

#### نتایج آنالیز حساسیت

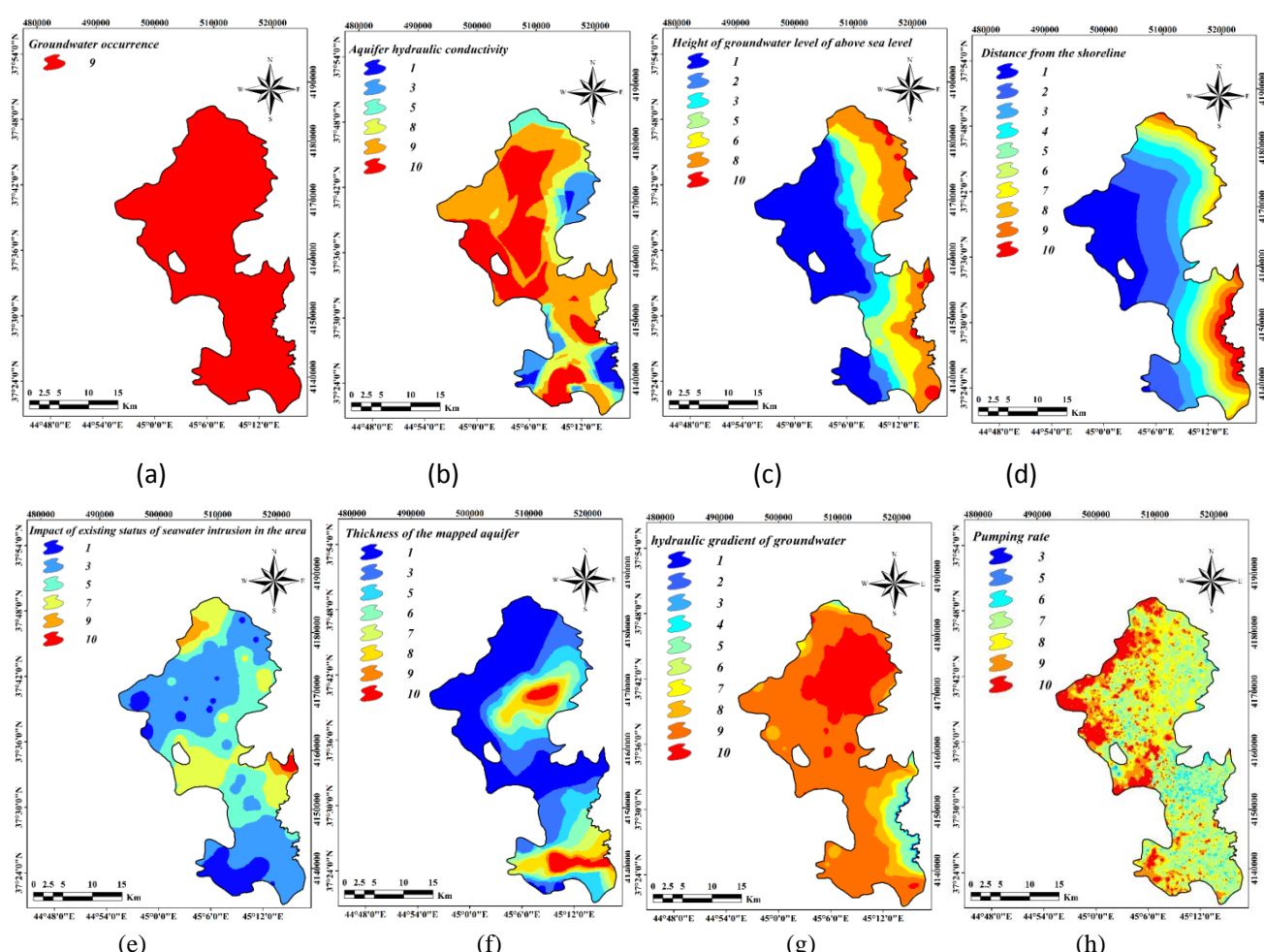
آنالیز حساسیت حذف تک نقشه (جدول ۴) نشان می‌دهد که با توجه به تغییرات شاخص پارامترها، تغییر شاخص آسیب‌پذیری آب

جدول ۲- طبقه‌بندی کیفی و مساحت مناطق آسیب‌پذیر آب زیرزمینی آبخوان ساحلی دشت ارومیه بر اساس شاخص GALDIT و GALDIT-iP

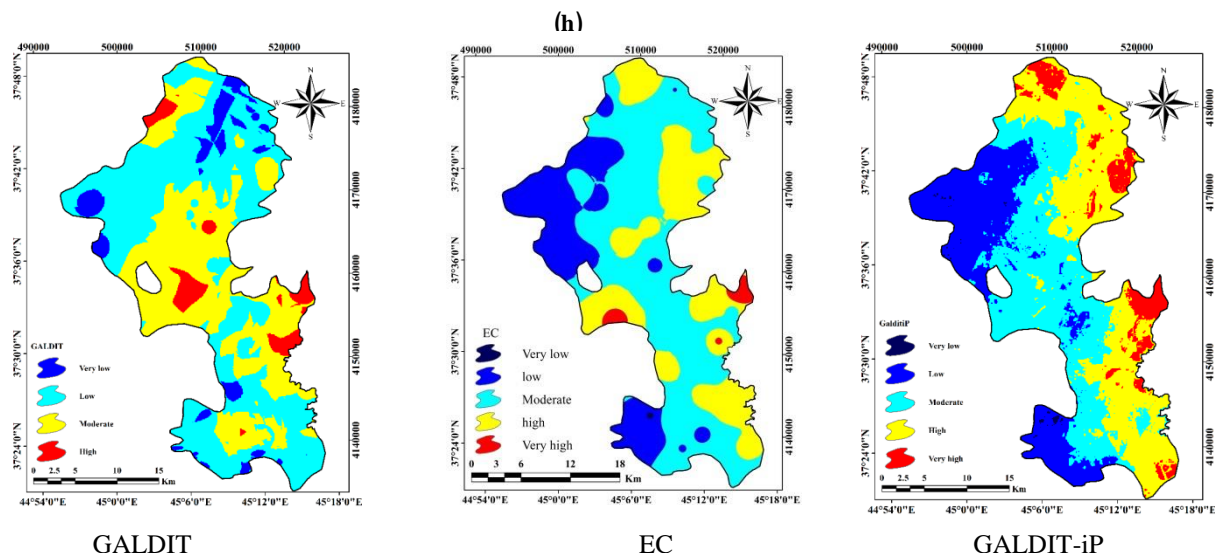
مساحت (%)			مساحت (km <sup>2</sup> )			محدوده	طبقه آسیب‌پذیری
EC	GALDIT	GALDIT-iP	EC	GALDIT	GALDIT-iP		
۰/۴۷	۶/۴۶	۰/۰۲	۳/۵۹	۴۸/۳۴	۱/۵۳	۳-۳/۷۵	خیلی کم (Very low)
۲۶/۹۲	۵۰/۴۶	۲۳/۸۰	۲۰۱/۴۱	۳۷۷/۶۰	۱۷۸/۰۹	۳/۴-۷۵/۵	کم (Low)
۴۰/۵۲	۳۸/۲۷	۳۵/۲۱	۳۰۳/۲۲	۲۸۶/۳۸	۲۶۳/۴۸	۴/۵-۵/۲۵	متوسط (Moderate)
۲۷/۵۳	۴/۸۲	۲۳/۶۷	۲۰۶/۰۴	۳۶/۰۶	۲۵۱/۹۷	۵/۶-۲۵	زیاد (High)
۴/۵۶	-	۷/۱۲	۳۴/۱۳	-	۵۳/۳۲	۸-۶	خیلی زیاد (Very high)
۱۰۰	۱۰۰	۱۰۰	۷۴۸/۳۹	۷۴۸/۳۹	۷۴۸/۳۹	جمع	

جدول ۳- همبستگی بین غلظت پارامتر EC و شاخص‌های آسیب‌پذیری GALDIT و GALDIT-iP

	ضریب تبیین ( $R^2$ )		GALDIT	GALDIT-iP
	پارامتر کیفی	EC		
		۰/۴۲		۰/۶۶



شکل ۲- نقشه نوع آبخوان (a)، نقشه هدایت هیدرولیکی (b)، نقشه اختلاف تراز سطح آب زیرزمینی با سطح آب دریا (c)، نقشه فاصله تا ساحل (d)، نقشه تأثیر بزرگی و وسعت آب شور نفوذ کرده (e)، نقشه ضخامت آبخوان (f)، نقشه گرادیان هیدرولیکی (g) و نقشه نرخ پمپاژ (h)



شکل ۳- نقشه آسیب‌پذیری آبخوان ساحلی دشت ارومیه با استفاده از روش GALDIT-iP و GALDIT (اصلاح شده) به همراه نقشه EC

جدول ۴- تحلیل آماری آنالیز حساسیت حذف تک نقشه

پارامتر حذف شده	شاخص تغییرات (%)					
	ضریب تغییرات (%)	انحراف معیار	حداکثر	حداقل	میانگین	پارامتر حذف شده
<b>GALDIT</b>						
G	۱۵/۷۴	۱۳/۵۱	۱۶/۳۰	-/۲۳	۲/۱۱	
A	۱۵/۸۱	۱۳/۶۹	۱۶/۳۱	-/۲۷	۱/۷۲	
L	۱۵/۸۷	۱۴/۵۸	۱۶/۲۸	-/۲۴	۱/۵۰	
D	۱۵/۷۹	۱۴/۲۶	۱۶/۲۶	-/۲۷	۱/۷۱	
I	۱۵/۸۸	۱۴/۰۵	۱۶/۲۶	-/۲۲	۱/۳۸	
T	۱۵/۸۳	۱۴/۱۱	۱۶/۳۰	-/۲۰	۱/۲۸	
<b>GALDIT-iP</b>						
G	۱۲/۰۱۸۳	۱۱/۵۹	۵/۲۲	-/۰۷	-/۵۴	
A	۱۲/۰۳۵۲	۱۱/۶۷	۴/۶۰	-/۰۶	-/۵۰	
L	۱۲/۰۶۱۱	۱۱/۷۷	۸/۵۹	-/۰۷	-/۵۵	
D	۱۲/۰۳۳۱	۱۱/۷۰	۷/۲۸	-/۰۶	-/۵۳	
I	۱۲/۰۶۰۶	۱۱/۶۹	۹/۸۱	-/۰۵	-/۴۰	
T	۱۲/۰۳۴۱	۱۱/۶۷	۸/۵۲	-/۰۶	-/۵۳	
i*	۱۲/۰۹۳۹	۱۱/۷۴	۴/۷۹	-/۰۶	-/۵۲	
P*	۱۲/۰۸۲۳	۱۱/۷۲	۶/۸۴	-/۰۶	-/۴۶	

P= pumping rates\* Hydraulic gradient i=\*

جدول ۵- تحلیل آماری آنالیز حساسیت حذف چند نقشه

پارامترهای استفاده شده	شاخص تغییرات (%)					
	ضریب تغییرات (%)	انحراف معیار	حداکثر	حداقل	میانگین	پارامتر حذف شده
<b>GALDIT</b>						
ALDIT	۲/۲۲	-	۳/۱۵	-/۵۹	۲۶/۳۳	
ALIT	۷/۱۳	۲/۵۲	۱۰/۳۱	۱/۴۵	۲۰/۲۸	
LIT	۱۲/۲۱	-/۳۴	۲۱/۵۱	۳/۵۳	۲۸/۸۹	
LI	۲۳/۸۰	-	۴۸/۰۷	۱۰/۸۸	۴۵/۷۱	
I	۵۵/۲۷	-/۴۳	۱۷۰/۸۳	۳۴/۲۴	۶۱/۹۶	
<b>GALDIT-iP</b>						
ALDIT-iP	۱/۴۲	-/۸۰	۱/۶۹	-/۱۳	۹/۳۷	
ALIT-iP	۴/۰۷	۱/۹۶	۵/۴۷	-/۶۹	۱۷	
ALI-iP	۷/۸۵	۲/۶۴	۱۱/۵۵	۱/۶۴	۲۰/۸۶	
LI-iP	۱۲/۲۳	۶/۴۲	۱۷/۶۱	۲/۰۹	۱۷/۰۶	
L-iP	۲۵/۷۶	۱۴/۴۷	۳۷/۰۴	۳/۷۰	۱۴/۳۴	
iP	۵۵/۴۸	۱۴/۵۷	۹۸/۰۳	۱۴/۱۰	۲۵/۴۲	
i	۱۳۲/۱۶	۲/۳۱	۲۳۷	۳۶/۵۹	۲۷/۶۹	

مؤثر آن‌ها (به ترتیب ۱۰/۲۸، ۱۰/۵۹ و ۱۵/۱۴ و ۱۶/۱۴ درصد) بالاتر از وزن تئوریک آن‌ها است و بقیه پارامترها وزن مؤثر کمتری را نسبت به وزن تئوریک‌شان نشان می‌دهند. اما در روش GALDIT-iP پارامترهای نوع آبخوان، هدایت هیدرولیکی آبخوان، گرادیان هیدرولیکی و نرخ پمپاژ مؤثرترین پارامترها در ارزیابی آسیب‌پذیری (به

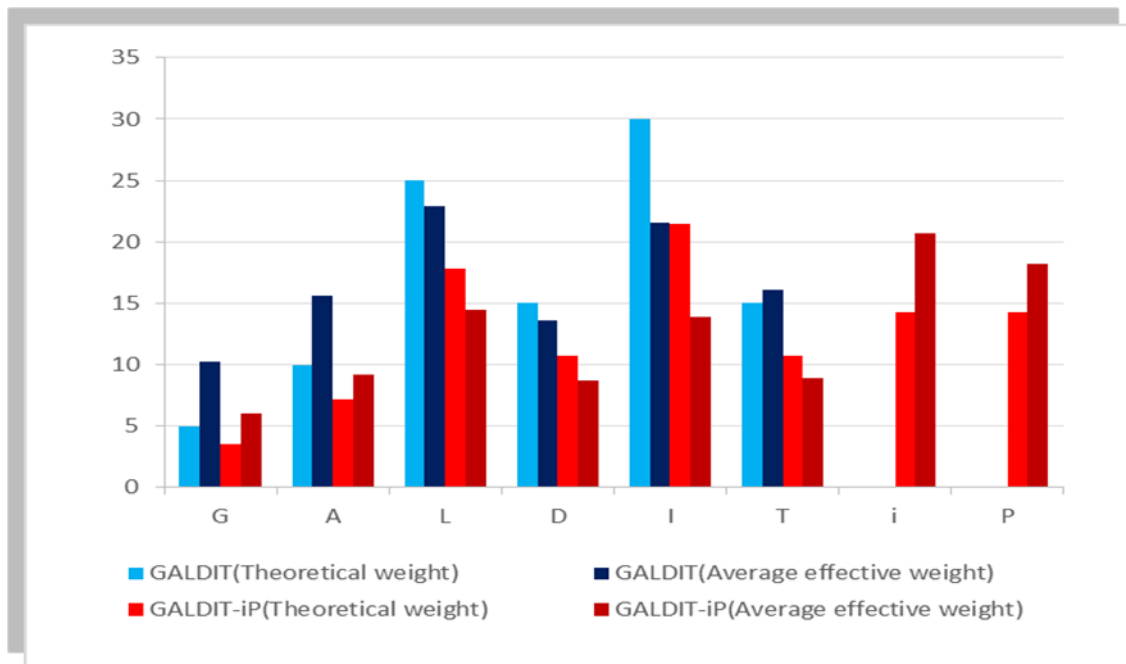
جدول ۶) نتایج آماری مربوط به وزن مؤثر و تئوریک هر پارامتر طبق روش آنالیز حساسیت پارامتر واحد برای هر دو روش GALDIT-iP را نشان می‌دهد. طبق جدول در روش GALDIT پارامترهای نوع آبخوان، هدایت هیدرولیکی آبخوان و ضخامت آبخوان مؤثرترین پارامترها در ارزیابی آسیب‌پذیری هستند، زیرا میانگین وزن

بیشتری نسبت به درصد وزن تئوریک دارند در رتبه‌بندی جدید، مقدار رتبه جدیدی که به آن‌ها داده می‌شود بیشتر از وزن مؤثری است که قابلً به صورت کارشناسی به آن اختصاص داده شده بود. نتایج حاصل از این تحلیل و مقایسه وزن‌های جدید و قدیم برای هر پارامتر در جدول (۷) آورده شده است.

ترتیب با وزن مؤثر  $17/17, 9/18, 67/20$  و  $18/18$  درصد) هستند. بقیه پارامترها دارای وزن مؤثر کمتری نسبت به وزن تئوریک هستند. حالت گرافیکی جدول (۶) نیز در شکل (۴) آورده شده است. نتایج حاصل از آنالیز حساسیت تک پارامتری باعث تولید وزن جدید برای هر یک از پارامترها شد. پارامترهایی که درصد وزن مؤثر

جدول ۶- تحلیل آماری آنالیز حساسیت تک پارامتری

پارامتر	وزن تئوریک (%)	وزن مؤثر (%)	وزن مؤثر (%)					
			میانگین	حداقل	حداکثر	حداکثر معیار	انحراف معیار	ضریب تغییرات (%)
<b>GALDIT</b>								
G	۱	۵	۱۰/۲۸	۵/۸۵	۲۳/۸۱	۲/۸۳	۳۷/۵۰	
A	۲	۱۰	۱۵/۵۹	۱/۴۷	۴۲/۵۵	۶/۸۰	۴۳/۶۱	
L	۵	۲۵	۲۲/۸۶	۴/۸۱	۴۸/۵۴	۹/۵۸	۴۱/۹۱	
D	۳	۱۵	۱۳/۵۶	۳/۱۶	۲۶/۴۲	۴/۸۷	۳۵/۹۰	
I	۶	۳۰	۲۱/۵۸	۵/۱۳	۵۶/۲۵	۱۰/۲۷	۴۷/۶۱	
T	۳	۱۵	۱۶/۱۴	۱/۷۵	۴۸	۹/۱۰	۵۶/۴۰	
<b>GALDIT-iP</b>								
G	۱	۳/۵۷	۶/۰۳	۴/۲۴	۱۰/۲۰	۰/۹۰	۱۴/۹۱	
A	۲	۷/۱۴	۹/۱۷	۱/۰۲	۱۸/۶۹	۳/۵۸	۳۹/۰۶	
L	۵	۱۷/۸۶	۱۴/۴۵	۲/۷۸	۳۰/۶۷	۶/۸۷	۴۷/۵۶	
D	۳	۱۰/۷۱	۸/۷۵	۱/۷۵	۱۹/۲۳	۳/۹۵	۴۵/۱۳	
I	۶	۲۱/۴۳	۱۳/۸۴	۳/۲۶	۳۳/۱۳	۶/۴۶	۴۶/۶۶	
T	۳	۱۰/۷۱	۸/۹۲	۱/۲۷	۴۱/۲۴	۵/۰۳	۵۶/۴۵	
i	۴	۱۴/۲۹	۲۰/۶۷	۲/۱۲	۳۵/۶۴	۵/۲۳	۲۵/۲۹	
P	۴	۱۴/۲۹	۱۸/۱۸	۶/۶۷	۳۵/۰۹	۴/۰۹	۲۲/۴۸	



شکل ۴- نمودار مقایسه میانگین وزن مؤثر و وزن تئوریک پارامترها در روش‌های GALDITiP و GALDIT

جدول ۷- نتایج تحلیلی درصد وزن تئوری و درصد وزن مؤثر در شاخص GALDIT-iP و GALDIT

GALDIT	پارامتر	G	A	L	D	I	T	
	وزن قدیم	۱	۲	۵	۳	۶	۳	
	وزن جدید	۲/۱	۳/۱	۴/۶	۲/۷	۴/۳	۳/۲	
GALDIT-iP	پارامتر	G	A	L	D	I	T	i
	وزن قدیم	۱	۲	۵	۳	۶	۳	۴
	وزن جدید	۱/۶۹	۲/۵۷	۴/۰۵	۲/۴۵	۳/۸۷	۲/۵۰	۵/۷۹

شان دهنده این واقعیت خواهد بود که بررسی آسیب‌پذیری آبخوان با استفاده از روش اصلاح شده دقت بالاتری داشته و جزیبات بیشتری در اختیار ما قرار می‌دهد.

### منابع

آغازاده، ن.، اصغری مقدم، الف. و صمدی، ن. ۱۳۸۹. ارزیابی نفوذ آب شور دریاچه ارومیه به آب خوان ساحلی میان دشت قالاقچی. مجله پژوهش‌های حفاظت آب و خاک. ۱۷ (۴): ۴۶-۲۵.

بردباز، م.، نشاط، الف.ر. و جوادی، س. ۱۳۹۷. استفاده از مدل‌های Fuzzy AHP برای اصلاح مدل GALDIT در ارزیابی آسیب‌پذیری آبخوان ساحلی. مجله تحقیقات منابع آب ایران. ۱۵ (۱): ۳۲۶-۳۱۴.

شرکت آب منطقه‌ای آذربایجان غربی، گزارشات پایه منابع آب. ۱۳۹۵. محمود پور، ه.، جنت رستمی، س. و اشرف زاده، الف. ۱۳۹۸. ارزیابی کیفی آبخوان ساحلی دشت تالش با استفاده از مدل آسیب‌پذیری DRASTIC اصلاح شده. مجله علوم آب و خاک. ۲۴ (۳): ۹۷-۱۱۸

نخعی، م. و دیعتی، م. و محمدی، خ. ۱۳۹۳. ارزیابی آسیب‌پذیری نفوذ آب شور دریاچه ارومیه به آبخوان ساحلی با استفاده از مدل GALDIT. مجله زمین‌شناسی مهندسی و محیط‌زیست. ۲۴ (۹۵): ۲۲۳-۲۳۰.

Castany, G. 1982. Principes et methods de hydrogeologie, Dunod, Paris, 236p

Chachadi, A. G., Lobo Ferreira, J. P., Noronha, L. and Choudri, B. S. 2002. Assessing the impact of sea-level rise on salt water intrusion in coastal aquifers using GALDIT model, COASTIN newsletter. 7. 27-32.

Cherkaoui Dekkaki, H., Ben Ali, M., Ait Taleb, A., Myzy, H., Hassani Zerrouk, M. and Mesmoudi, A. 2018. Evaluation of intrinsic vulnerability against seawater intrusion using the GALDIT approach. JOURNAL OF Materials and Environmental Sciences. 9: 107-112

### نتیجه‌گیری

نتایج نشان داد که شاخص آسیب‌پذیری GALDIT-iP بین ۳ تا ۸ متغیر بوده و به پنج کلاس با آسیب‌پذیری خیلی کم، کم، متوسط، زیاد و خیلی زیاد طبقه‌بندی شد. نقشه شاخص GALDIT مساحت آبخوان با محدوده آسیب‌پذیری خیلی زیاد را شامل نمی‌شود، در حالی که شاخص iP GALDIT ۷/۱۲ درصد از آبخوان را در طبقه آسیب‌پذیری خیلی زیاد نشان می‌دهد. در حالت کلی در روش GALDIT-iP درصد مساحت طبقات با آسیب‌پذیری خیلی کم تا متوسط نسبت به روش GALDIT کمتر شده است ولی درصد مساحت طبقات با آسیب‌پذیری زیاد و خیلی زیاد افزایش یافته است. همچنین نتایج حاصل از واسنجی مدل نشان داد که نقشه GALDIT-iP تطابق بیشتری نسبت به روش GALDIT با نقشه EC پهنه‌بندی شده در محدوده موردمطالعه دارد. به طور کلی بر اساس روش اصلاح شده می‌توان بیان کرد که در مناطق شرقی و مرکز دشت ارومیه و در حاشیه ساحلی آبخوان موردنظر شدت آسیب‌پذیری خیلی زیاد تا زیاد می‌باشد و در قسمت غربی و فاصله‌های دورتر از ساحل، میزان شدت آسیب‌پذیری کمتر می‌شود و این در حالی است که در این نقاط میزان شوری نیز به ترتیب خیلی زیاد و زیاد تا متوسط و به دنبال آن کمتر می‌شود. بر اساس نتایج آنالیز حساسیت تک پارامتری پارامترهای نوع آبخوان، هدایت هیدرولیکی آبخوان در هر دو روش ارزیابی آسیب‌پذیری جزء مؤثرترین پارامترها و علاوه بر آن دو پارامتر گرادیان هیدرولیکی و نرخ پمپاژ نیز نقش اساسی در روش GALDIT-iP داشته‌اند. همچنین بر اساس آنالیز حساسیت حذف نقشه، پارامترهای اثر آب شور نفوذ کرده و اختلاف تراز سطح آب زیرزمینی با سطح آب دریا در شاخص GALDIT و پارامترهای گرادیان هیدرولیکی و نرخ پمپاژ در شاخص GALDIT-iP جزء حساس‌ترین پارامترها به حساب می‌آیند و این همان پارامترهایی هستند که جهت اصلاح به شاخص GALDIT اضافه شده‌اند. همچنین صحت سنجی مدل‌ها با استفاده از داده‌های EC برتری GALDIT-iP را نسبت به GALDIT اصلی نشان داد؛ یعنی اینکه روش اصلاح شده توانایی نسبتاً بیشتری در جهت نشان دادن شوری آب زیرزمینی دارد. وجود اختلاف ۰/۲۴ در میزان همبستگی

- sensitivity analysis for aquifer vulnerability assessment using DRASTIC and SINTACS. Proceedings of the Vienna conference on HydroGIS 96: Application of geographic information systems in hydrology and water resources management, IAHS Pub. 235:559-566.
- Parizi, E., Hosseini, SM., Ataie-ashtiani, B., Simmons, CT. 2018. Vulnerability Mapping of Coastal Aquifers to Seawater Intrusion: Review, Development and Application. *Journal of hydrology.* 570: 555-573.
- Recinos, N., Kallioras, A., Pliakas, F. and Schuth, C., 2014. Application of GALDIT index to assess the intrinsic vulnerability to seawater intrusion of coastal granular aquifers. *Environ. Earth Sci.* 59: 72. 1866-6299.
- Revelle, R. 1941 Criteria for Recognition of Sea Water in Ground Waters. *JOURNAL OF Transactions American Geophysical Union.* 22:593-597.
- Sadeghfam, S., Khatibi, R., Daneshfaraz, R. and Rashidi, H. B. 2020. Transforming vulnerability indexing for saltwater intrusion into risk indexing through a fuzzy catastrophe scheme. *Water Resources Management.* 34(1): 175-194.
- Samey, AA. and Gang, C. 2008. A GIS based DRASTIC Model for the assessment of Groundwater Vulnerability to pollution in West Mitidja: Blida City, Algeria. *Research Journal of Applied Sciences.* 3:500–507
- Gontara, M., Allouche, N., Jmal, I. and Bouri, S. 2016. Sensitivity analysis for the GALDIT method based on the assessment of vulnerability to pollution in the northern Sfax coastal aquifer, Tunisia. *Arabian Journal of Geosciences.* 9: 1–15.
- Gorgij, A.D., Moghaddam, AA. 2016. Vulnerability Assessment of saltwater intrusion using simplified GAPDIT method. *Arabian Journal of Geosciences.* 9(2): 1-13.
- Lobo-Ferreira, J. P. and Cabral, M. 1991. Proposal for an Operational Definition of Vulnerability for the European Community's Atlas Groundwater Resource. In: Meeting of the European Institute for Water, Groundwater Work Group, Brussels.
- Lodwick, W. A., Monson, W. and Svoboda, L. 1990. Attribute error and sensitivity analysis of map operations in geographical information systems. *International Journal of Geographic Information System.* 4(4): 413-428.
- Mavriou, Z. 2018. Contribution to the Development of Aquifers Conceptual Models in Rhodes Island. Applicationof GALDIT Method. Master's Thesis, Department of Civil Engineering, Democritus University of Thrace, Xanthi, Greece.
- Moazamnia, M., Hassanzadeh, Y., Nadiri, A. A. and Sadeghfam, S. 2020. Vulnerability indexing to saltwater intrusion from models at two levels using artificial intelligence multiple model (AIMM). *Journal of environmental management.* 255: 109871.
- Napolitano, P. and Fabbri, A.G. 1996. Single-parameter

## Qualitative Assessment of the Coastal Plain of Urmia using the Modified GALDIT Vulnerability Method

M. Majedi-Asl<sup>\*1</sup>, H. Mahmoudpour<sup>2</sup>, S. Sadeghfam<sup>3</sup>, E. Ebrahimpour<sup>4</sup>

Received: Aug.16, 2021

Accepted: Oct.12, 2021

### Abstract

Sea water intrusion is a major environmental threat to groundwater resources in coastal areas, where groundwater is the main source of water supply in demotic agriculture sections, etc. Due to the over-exploitation of this source, we are witnessing increased pollution in coastal aquifers. In this study, the GALDIT method was used to assess the water vulnerability in the Urmia plain. Then, to improve the model accuracy, the two parameters  $i$  (hydraulic gradient) and  $P$  (pumping rate), were added to GALDIT. The results of the correlation coefficient between the GALDIT and GALDIT-iP indices with the parameter of EC showed that the correlation coefficient was increased from 0.42 to 0.66, which showed a significant improvement for the modified model. Therefore, the GALDIT map presents a more accurate vulnerability. The results also showed that the vulnerability index is high in the eastern and central parts of the plain and the areas near the coast of the plain, and also the index is low in the western parts and the areas distant from the coast. Also, the sensitivity analysis for removing the model parameters showed that the change of the vulnerability index by removing the status of Impact of seawater intrusion ( $I$ ) in GALDIT and the hydraulic gradient ( $i$ ) in GALDIT-iP is more than other parameters. Then, based on the single-parameter sensitivity analysis, the aquifer type (G) and thickness (T) are the most effective parameters in both methods, and in addition, the hydraulic gradient and pumping rate are effective parameters in evaluating the GALDIT-iP index. Overall, the results of the study showed that by using the modified GALDIT method, the percentage of areas swept by the high and very high vulnerability indices increased, while the areas with very low to medium vulnerability indices decreased.

**Keywords:** Groundwater, Hydraulic gradient, Modified GALDIT, Sensitivity analysis, Validation

1- Associate Professor, Department of Civil Engineering, Faculty of Engineering, University of Maragheh, Maragheh, Iran

2- Graduate of Water expert of Sardasht Water Resources Department, Iran

3- Assistant Professor, Department of Civil Engineering, Faculty of Engineering, University of Maragheh, Maragheh, Iran

4- M.Sc. in Civil Engineering-Hydraulic Structures, Department of Civil Engineering, Faculty of Engineering, University of Maragheh , Maragheh, Iran

(\*- Corresponding Author Email: majedi@maragheh.ac.ir)